

武藏工業大学 正員 王 方一

序：砂礫の移動限界は砂礫の露出程度とされたて作用する流体力に依存する。本文では露出比の変化に伴う圧力孔付球の周りの圧力強度を測定し、方向別に合計し、流速を測定して、抗力係数と揚力係数を求めた。

[1]. 実験方法と条件：幅29.5cm、長さ約12mの水路底に直径25mmのガラス球を千鳥型に密に配列し、ほぼ長さ方向の中央、橋の中間ににおける1つを抜き取り、その空間内で、それと同じ直径の真鍮製圧力孔付球を下流側の2つのガラス球と接觸させながら高さをかえ、圧力孔の水頭を測定した。別のピートー管静水孔で静水頭を読み取り、静圧との差の $\gamma$ 、 $\gamma$ 方向成分と圧力孔の分担面積との相乗積を合計し、抗力 $F_D$ と揚力 $F_L$ を求めた。圧力孔付球は図-1のように側方に薄く作られた支持棒(擾乱を防ぐため)で上下し、その中を通じて圧力がマーメータに傳達される。支持棒を薄くするために、圧力球1個につき、圧力孔の数を5個に制限し、 $0^\circ$ 方向の半円周上と $45^\circ$ 方向の半円周上に圧力孔5個づつあけた球2個を用いた。それらを用いて測定点定めを交互に上下して測定し、さらにそれらを反転させて $180^\circ$ 、 $225^\circ$ 方向の半円周上の圧力強度を測った。 $135^\circ$ 、 $315^\circ$ 方向のものは対称と見て $225^\circ$ 、 $45^\circ$ 方向の測定値を代用させた。静水圧は実験前と実験後、測定点でピートー管の静压孔で測定し、その平均値を用いた。球の圧力孔5個の交配面積はそれらを囲む球表面上の経緯線内の面積と弦と組み成る面積の平均を用いた。空隙部の状態は図-1に示すように(1)あきによる場合と(2)球形頂部の円柱(略称頂球)、(3)平面頂部の円柱(頂平)で圧力球の下部と接觸させる場合の3種類である。水理条件は $i=1/60$ 、 $h_0=8.63\text{ cm}$ 、 $h=h_0+0.2d=9.13\text{ cm}$ 、 $U_\infty=\sqrt{gR_G i}=11.29\text{ cm/sec.}$ である。 $R_G$ は側面マサツを考慮した種深である。圧力球の中心の流速は実測値を用いた。

## [2]. 実験結果

- ・流速：球頂より $0.2d$ 下を厚底とするとき粗面乱流式における3.75に傾斜が最も近き、 $A_r$ は10.5を得た。
- ・抗力係数： $C_D=2F_D/\rho u^2 A$ 、 $F_D=\sum(y_i-y_s)_z \omega A_i$ で計算した。 $y_s$ は静水頭高。 $u$ は実測値を用い、 $C_D$ の結果は図-3に示す。ただし、露出比 $\gamma=\frac{d}{D}=0.8$ 以下のものはすべて $\gamma=0.8$ における $u=97.5\text{ cm/s}$ を用いた。 $\gamma>0.8$ におけるReynolds数 $Re$ は $2.4 \times 10^4 \sim 3.5 \times 10^4$ で、無限流体における球のこの範囲の $Re$ に対する $C_D$ は約0.4である。図-3では $\gamma \approx 0.8$ では $C_D \approx 0.4$ で $\gamma$ が3まで増加すると $C_D \approx 0.3$ に漸近している。本実験では $0^\circ$ と $45^\circ$ 方向の圧力孔付球2個を用いており、側面すなわち $90^\circ$ と $270^\circ$ の束を含む範囲の上下流圧力差および球の頂点と底点を含む範囲の上下流圧力差は成分量が小さいとはいえない程度あると考えられ、 $C_D$ の実際の値は図に示す値より多少大きくなると想像される。Dementieffの平底上における $\beta_d=\frac{2}{3}$ の水平柱に関する実験値とは傾向が似ている。
- ・揚力係数： $C_L=2F_L/\rho u^2 A$ 、 $F_L=\sum(y_i-y_s)_z \omega A_i$ で計算した。結果は図-4に示す。この増加に従って $C_L$ は減少し、 $\gamma \approx 0.9$ で負になり、 $\gamma \approx 1.8$ まで減少し續け、以後は増加しながら $\gamma \approx 3$ で0に近づく。 $\gamma > 0.9$ で $C_L$ が負になるのは圧力球の下縁と水路底球の間に速い流速が生ずるからと想像され、この傾向はNath・山本の解析結果(1974、水平棒の揚力、棒の下縁と水路底間の隙間が棒直徑等しくなる点[ $\gamma=2$ に相当]まで揚力が負になる)と似ているがDementieffの実験値(負を経ないで0に近づく)とは傾向が異なっている。

- ・ $C_{D*}=2F_D/\rho u_*^2 A$ 、 $C_L=2F_L/\rho u_*^2 A$ は図-5、6に示す。 $C_{D*}$ は $\gamma$ と共に増加し、 $\gamma \approx 2$ 以上で約4.71に漸近する。 $C_{L*}$ は $\gamma=0.4 \sim 0.9$ で15から0に減少し、それから負となり、 $\gamma \approx 1.8$ まで-20に減少しつづけ、以後増加し、 $\gamma \approx 3$ で0に接近している。
- ・ $C_{L*}/C_{D*}=C_L/C_D \sim \gamma$ の関係は図-7に示す。

- ・ $C_*=\sqrt{C_{D*}^2+C_{L*}^2}=2F/\rho u_*^2 A$ の大きさと合力 $F=\sqrt{F_D^2+F_L^2}$ の作用方向は図-8で緑線の長さと矢印で示す。

おまけ：以上の実験結果と傾向は掃流砂礫の始動と運動形式の解釋に一助にはなると思われる。

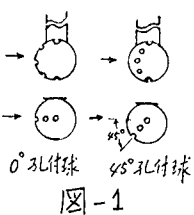
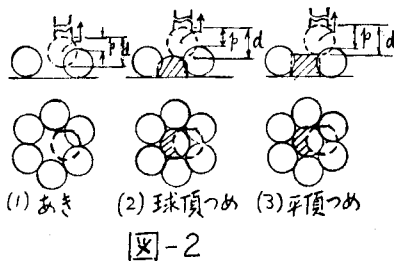


図-1



(1) あき (2) 球頂つめ (3) 平頂つめ

図-2

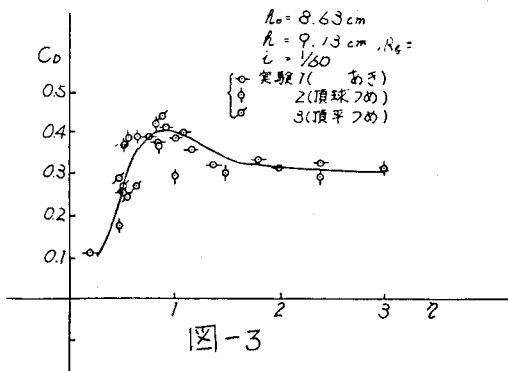


図-3

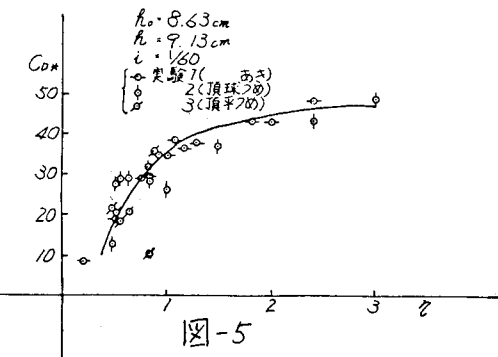


図-5

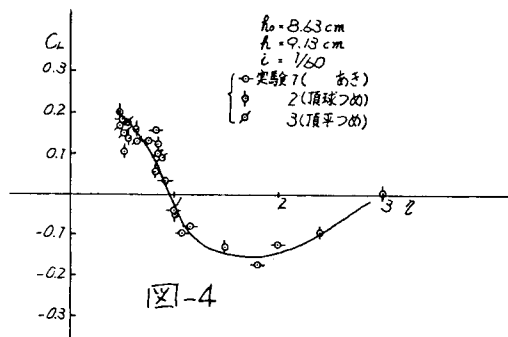


図-4

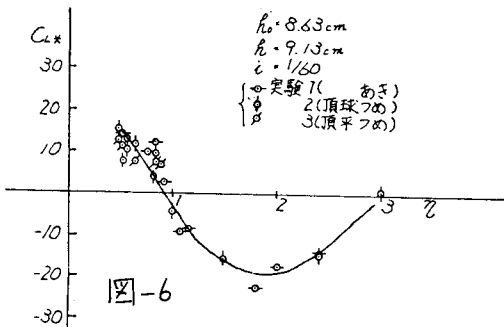


図-6

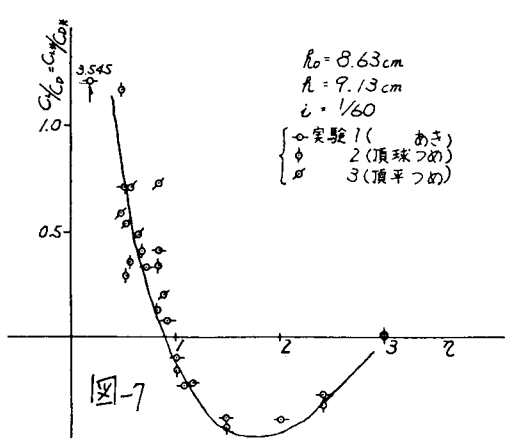


図-7

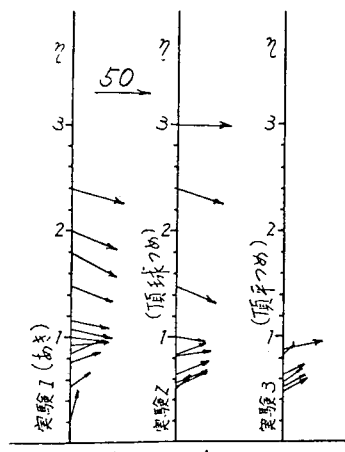


図-8: 合力F\_rの方向とC\_dの大きさ